

**Introduction**  
A quantitative gamma-ray spectrometric and aeromagnetic airborne geophysical survey of the Northwestern Athabasca Basin, Saskatchewan, was completed by Goldak Airborne Surveys. The survey was flown from June 24th to September 21st, 2010, using two Piper PA-31 Navajo aircraft (C-GJBA, C-GJBB) and one Cessna Caravan (C-GLDX). The nominal track spacing was 400 m and 200 m, respectively. The flight path was recovered following post-flight differential corrections to raw data recorded by a Global Positioning System.

**Gamma-ray Spectrometric Data**  
The airborne gamma-ray measurements were made with a Radiation Solutions RS-500 gamma-ray spectrometer using fourteen 102x102x406 mm NaI (Tl) crystals. The main detector array consisted of twelve crystals (total volume 50.4 litres). Two crystals (total volume 8.4 litres), situated by the main array, were used to detect variations in background radiation caused by atmospheric radon. The system constantly monitored the natural thorium peak for each crystal, and using a Gaussian least squares algorithm, adjusted the gain for each crystal.

Potassium is measured directly from the 1460 keV gamma-ray photons emitted by <sup>40</sup>K, whereas uranium and thorium are measured indirectly from gamma-ray photons emitted by daughter products (Bi<sup>214</sup> for uranium and Tl<sup>208</sup> for thorium). Although these daughters are far down their respective decay chains, they are assumed to be in equilibrium with their parents, thus gamma-ray spectrometric measurements of uranium and thorium are referred to as equivalent uranium and equivalent thorium, i.e. 4U and 4Th. The energy windows used to measure potassium, uranium and thorium are, respectively, 1370–1570 keV, 1660–1860 keV and 2410–2610 keV.

Gamma-ray spectra were recorded at one-second intervals. Data processing followed standard procedures as described in IAEA, 1991 and IAEA, 2003. During processing, the spectra were energy calibrated, and counts were accumulated into the windows described above. Counts from the radon detectors were recorded in a 1600–1800 keV window and radon at energies greater than 2000 keV was recorded in the cosmic window. The window counts were corrected for decay time, background radiation, radioactivity of the aircraft and atmospheric radon decay products. The window data were then corrected for spectral scattering in the ground, air and detectors. Corrections for variations from the planned terrain clearance and for variations of temperature and pressure were made prior to conversion to ground concentrations of potassium, uranium and thorium, using factors determined from flights over the Davelston, Saskatchewan calibration range. The factors for potassium, uranium, and thorium are listed in Table 1.

	C-GJBA	C-GJBB	C-GLDX
Potassium (ppm)	63.27	62.06	60.73
Uranium (ppm)	12.84	12.88	12.93
Thorium (ppm)	5.81	5.45	5.57

Table 1. Gamma Ray Spectrometer Sensitivities for each aircraft

Corrected data were filtered and interpolated to a 100 m grid interval. The results of an airborne gamma-ray spectrometer survey represent the average surface concentrations that are influenced by varying amounts of canopy, vegetation cover, soil moisture and surface water. As a result the measured concentrations are usually lower than the actual bedrock concentrations. The total air absorbed dose rate in nanograys per hour was produced from measured counts between 400 and 2810 keV.

**Magnetic Data**  
The magnetic field was sampled 10 times per second using a split-beam cesium vapour magnetometer (sensitivity = 0.005 nT) rigidly mounted to the aircraft. Differences in magnetic values at the intersections of control and magnetic lines were used to produce a regular grid of flight line magnetic data. The leveled values were then interpolated to a 100 m grid. The International Geomagnetic Reference Field (IGRF) defined at the average GPS altitude of 510 m for the year 2010.01 was then removed. Removal of the IGRF, representing the magnetic field of the Earth's core, produces a residual component related to the magnetization of the Earth's crust.

The first vertical derivative of the magnetic field is the rate of change of the magnetic field in the vertical direction. Computation of first vertical derivative removes low wavelength features of the magnetic field and significantly improves the resolution of closely spaced and superposed anomalies. Appropriety of first vertical derivative maps is the coincidence the zero-value contour with vertical contacts of magnetic units at high magnetic latitudes (Hood, 1965).

**LEVÉ GÉOPHYSIQUE DE LA PARTIE NORD-OUEST DU BASSIN ATHABASCA, SASKATCHEWAN**

**Introduction**  
Un levé géophysique aéroporté combinant l'acquisition de données de spectrométrie gamma et de données magnétique a été réalisé dans la partie nord-ouest du bassin de l'athabasca en Saskatchewan par le service Goldak Airborne Surveys. Le levé a été effectué du 24 juin au 21 septembre 2010, à bord de deux avions Piper PA-31 Navajo (C-GJBA, C-GJBB) et d'un Cessna Caravan (C-GLDX). L'échantillonnage des lignes de vol était de 400 m et celui des lignes de contrôle de 200 m. L'altitude nominale de levé était de 125 m au-dessus du sol et la vitesse était comprise entre 200 km/h et 270 km/h. Les lignes de vol ont été corrigées à 135° et les lignes de contrôle ont été corrigées à 137°. Les données de vol ont été restituées par l'application après le vol de corrections différentielles aux données brutes enregistrées avec un récepteur GPS.

**Données de spectrométrie gamma**  
Les mesures du rayonnement gamma ont été effectuées à l'aide d'un spectromètre gamma Radiation Solutions RS-500 utilisant quatorze cristaux de NaI (Tl) de 102x102x406 mm. Le niveau des cristaux principaux se composait de douze cristaux (volume total de 50,4 litres). Deux cristaux (volume total de 8,4 litres), protégés par des écrans plombés, ont été utilisés pour détecter les variations du rayonnement naturel causées par le radon atmosphérique. Le dispositif permettait de faire un suivi constant des pics du thorium pour chacun des cristaux et au moyen d'un algorithme d'ajustement gaussien de déterminer les concentrations de potassium, d'uranium et de thorium pour chaque cristal.

Le potassium est mesuré directement à partir des photons gamma de 1 460 keV émis par le <sup>40</sup>K, tandis que l'uranium et le thorium sont mesurés indirectement grâce aux photons gamma émis par des produits de fission (Bi<sup>214</sup> pour l'uranium et Tl<sup>208</sup> pour le thorium). Bien que ces radionucléides de fission se trouvent loin dans leur chaîne respective de désintégration, on presume qu'ils sont en équilibre avec les radionucléides père. Ainsi, les mesures spectrométriques du rayonnement gamma de l'uranium et du thorium sont désignées comme des équivalents d'uranium et des équivalents de thorium, soit 4U et 4Th. Les plages d'énergie utilisées pour mesurer le potassium, l'uranium et le thorium sont respectivement de 1370 à 1570 keV, de 1660 à 1860 keV et de 2410 à 2610 keV. Le débit total de la dose absorbée par l'air, en nanograys à l'heure, a été déterminé à partir des coups mesurés dans la plage de 400 à 2810 keV.

Les spectres du rayonnement gamma ont été enregistrés à intervalle d'une seconde. Le traitement des données a suivi les procédures standard décrites dans IAEA, 1991 et IAEA, 2003. Pendant le traitement, les spectres ont été corrigés à l'aide d'un algorithme d'ajustement gaussien et les coups ont été cumulés dans les plages décrites ci-dessus. Les coups obtenus à l'aide des capteurs de radon ont été enregistrés dans la plage de 1 600 à 1 800 keV et le rayonnement à des énergies supérieures à 2 000 keV a été enregistré dans la plage du rayonnement cosmique. Les coups enregistrés dans les plages ont été corrigés pour tenir compte de la décroissance radioactive, du rayonnement cosmique, de la radioactivité de l'avion et des produits de désintégration du radon atmosphérique. Les données ont ensuite été corrigées pour tenir compte de la diffusion spectrale dans le sol, l'air et les détecteurs. Les corrections pour les variations de la hauteur de vol, pour les variations de température et de pression ont été effectuées. Le traitement, la conversion et les concentrations équivalentes au sol de potassium, d'uranium et de thorium a été réalisée en utilisant des facteurs déterminés lors de vols effectués au-dessus de la bande d'étalonnage de Davelston, Saskatchewan. Les facteurs pour le potassium, l'uranium et le thorium sont présentés au Tableau 1. Pour la mise en carte, un file à six et à dix ont été utilisés pour les données corrigées, qui ont ensuite été interpolées suivant une grille à maille de 100 m.

	C-GJBA	C-GJBB	C-GLDX
Potassium (ppm)	63.27	62.06	60.73
Uranium (ppm)	12.84	12.88	12.93
Thorium (ppm)	5.81	5.45	5.57

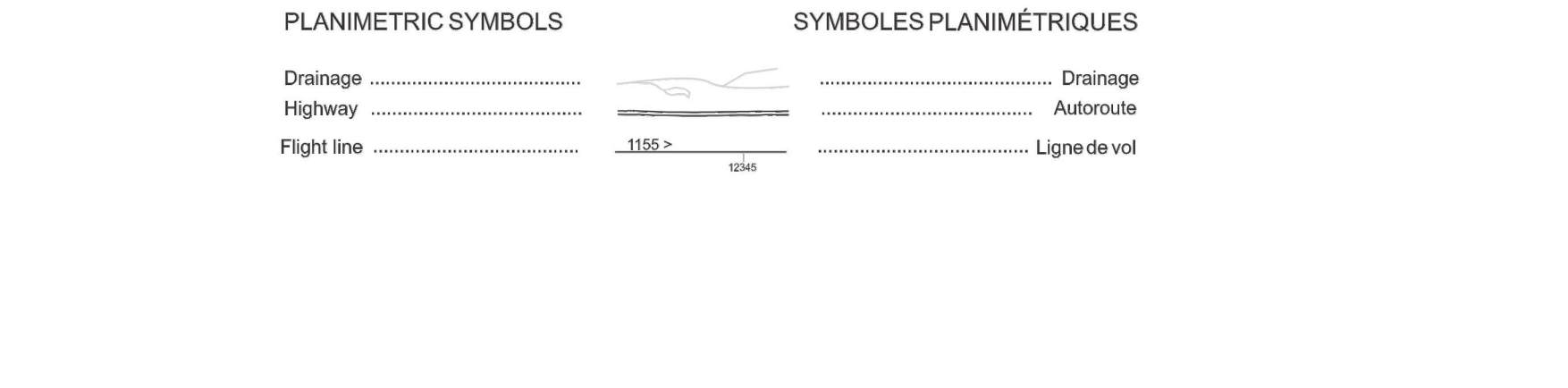
Tableau 1. Sensibilités des spectromètres de chacun des aéronefs.

Les résultats d'un levé aéroporté de spectrométrie gamma représentent les concentrations moyennes à la surface. Celles-ci sont influencées par les étendus variables des affaissements, des ondes-terrains, de la couverture végétale et de l'eau de surface. Par conséquent, les concentrations mesurées sont habituellement plus faibles que les concentrations réelles dans le substratum rocheux.

**Données sur le champ magnétique**  
Le champ magnétique a été échantillonné 10 fois par seconde à l'aide d'un magnétomètre à vapeur de césium à faisceau partagé (sensibilité = 0,005 nT) rigidement fixé à l'aéronef. Les différences de valeur du champ magnétique aux intersections des lignes de contrôle et des lignes de levé ont été analysées afin d'obtenir un ensemble de données sur le champ magnétique mutuellement nivelées sur les lignes de vol. Ces valeurs nivelées ont ensuite été interpolées suivant une grille à maille de 100 m. Le champ géomagnétique international de référence (International Geomagnetic Reference Field, IGRF) défini à l'altitude moyenne de 510 m sur la base des données GPS pour l'année 2010.01 a été soustrait. La soustraction de l'IGRF, qui représente le champ magnétique du noyau terrestre, fournit une composante résiduelle essentiellement liée à la magnétisation de la croûte terrestre.

La dérivée première verticale du champ magnétique représente le taux auquel varie le champ magnétique suivant la verticale. Le calcul de la dérivée première verticale supprime les composantes de grande longueur d'onde du champ magnétique et améliore considérablement la résolution des anomalies superposées et les détails des anomalies. L'une des propriétés des cartes de la dérivée première verticale est la coincidence de l'iso-valeur de valeur zéro des contacts verticaux aux limites latérales magnétiques (Hood, 1965).

**References / Références**  
Hood, P.J., 1965. Gradient measurements in aeromagnetic surveying. *Geophysics*, v.30, p.891-902.  
International Atomic Energy Agency, 1991. Airborne gamma ray spectrometer surveying. Technical Reports Series 323, IAEA, Vienna.  
International Atomic Energy Agency, 2003. Guide lines for radiometric mapping using gamma ray spectrometry data. Technical Reports Series 1363, IAEA, Vienna.



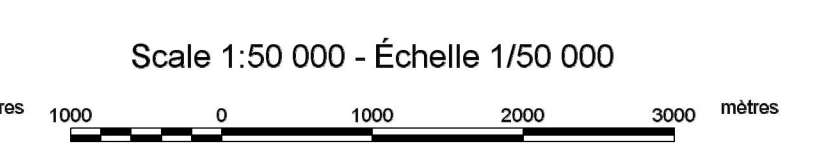
This airborne geophysical survey and the production of this map were funded by the Saskatchewan Ministry of Energy and Resources and the GEM-Energy Program of the Earth Sciences Sector, Natural Resources Canada.

Ce levé géophysique aéroporté et la production de cette carte ont été financés par le ministère de l'Énergie et des Ressources et le programme GEM-Energie du Secteur des sciences de la Terre, Ressources naturelles Canada.

GSC OPEN FILE 6807 / DOSSIER PUBLIC 6807 DE LA CGC  
SMER OPEN FILE 2011-42

**GEOPHYSICAL SERIES / SÉRIE DES CARTES GÉOPHYSIQUES**  
**AIRBORNE GEOPHYSICAL SURVEY OF THE NORTHWESTERN ATHABASCA BASIN, SASKATCHEWAN**  
**LEVÉ GÉOPHYSIQUE AÉROPORTÉ DE LA PARTIE NORD-OUEST DU BASSIN ATHABASCA, SASKATCHEWAN**  
NTS 74 P/06 and 74 P/07 Lytle Lake and Higginson Lake / NTS 74 P/06 et 74 P/07 Lytle Lake et Higginson Lake

**THORIUM**

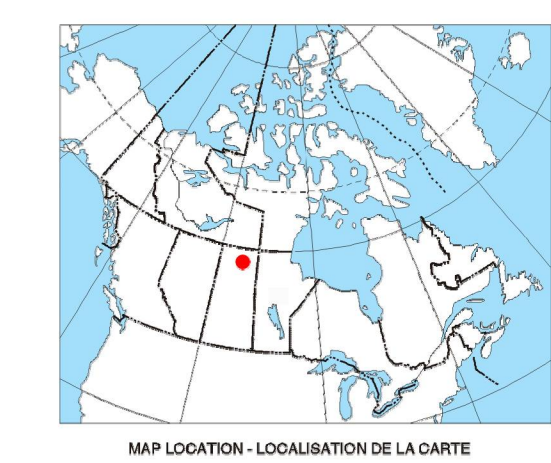


Authors: Fortin, R., Coyle, M., Buckle, J., Hefford, S.W. and Delaney, G.

Auteurs: Fortin, R., Coyle, M., Buckle, J., Hefford, S.W. et Delaney, G.

Data acquisition, compilation and map production by Goldak Airborne Surveys, Saskatoon, Saskatchewan. Contact and project management by the Geological Survey of Canada, Ottawa, Ontario.

Localisation, la compilation des données ainsi que la production des cartes furent effectuées par Goldak Airborne Surveys, Saskatoon, Saskatchewan. La gestion et la supervision du projet furent effectuées par la Commission géologique du Canada, Ottawa, Ontario.



**MAP SHEET SUMMARY / SOMMAIRE DES FEUILLETS**

Sheet / Feuille	MAP / CARTE
1	Natural Air Absorbed Dose Rate / Taux d'absorption naturel des rayons gamma dans l'air
2	Potassium
3	Uranium
4	Thorium
5	Uranium / Thorium
6	Uranium / Potassium
7	Thorium / Potassium
8	Tammy Radiometric Map / Carte radiométrique de Tammy
9	Residual Total Magnetic Field / Composante résiduelle de champ magnétique total
10	First Vertical Derivative of the Magnetic Field / Dérivée première verticale du champ magnétique

**OPEN FILE 2011-42**

SASKATCHEWAN MINISTRY OF ENERGY AND RESOURCES  
2011  
SHEET 4 OF 10 / FEUILLET 4 DE 10

**OPEN FILE DOSSIER PUBLIC 6807**

Open file are products that have not gone through the GSC normal publication process.  
Les documents publiés sont des produits qui n'ont pas été soumis au processus officiel de publication de la CGC.

2011  
SHEET 4 OF 10 / FEUILLET 4 DE 10

**OPEN FILE DOSSIER PUBLIC 6807**

Open file are products that have not gone through the GSC normal publication process.  
Les documents publiés sont des produits qui n'ont pas été soumis au processus officiel de publication de la CGC.

2011  
SHEET 4 OF 10 / FEUILLET 4 DE 10

**Recommended citation / Citation recommandée:**  
Fortin, R., Coyle, M., Buckle, J., Hefford, S.W. and Delaney, G., 2011. Geophysical Series. Airborne Geophysical Survey of the Northwestern Athabasca Basin, Saskatchewan, NTS 74 P/06 and 74 P/07, Lytle Lake and Higginson Lake. Geological Survey of Canada, Open File 6807. Saskatchewan Ministry of Energy and Resources (SMER), Open File 2011-42. Scale: 1:50,000.

**Notation bibliographique conseillée:**  
Fortin, R., Coyle, M., Buckle, J., Hefford, S.W. et Delaney, G., 2011. Série des cartes géophysiques. Levé géophysique aéroporté de la partie nord-ouest du bassin Athabasca, Saskatchewan, SNRC 74 P/06 et 74 P/07, Lytle Lake et Higginson Lake. Commission géologique du Canada, Dossier public 6807. Ministère de l'Énergie et des Ressources de la Saskatchewan (SMER), Open File 2011-42, échelle 1:50 000.